



БИООРГАНИЧЕСКАЯ ХИМИЯ

том 15 * № 8 * 1989

УДК 577.112

АРГИОПИНИНСВЯЗЫВАЮЩИЙ БЕЛОК ИЗ МЕМБРАН КОРЫ МОЗГА БЫКА

Волкова Т. М., Аветисян Н. А., Галкина Т. Г., Куделин А. Б.,
Махмудова Э. М.* Соловьев М. М., Ташмухамедов Б. А.*
Гришин Е. В.

Институт биоорганической химии им. М. М. Шемякина
Академии наук СССР, Москва;

* Институт физиологии Академии наук УзССР, Ташкент

С использованием двухстадийной биоспецифичной хроматографии солюбилизованных мембран коры мозга быка выделен аргиопининсвязывающий гликопротеин с молекулярной массой 40 кДа. Полученный рецепторный компонент способен специфично связывать *L-[³H]глутамат* с $K_d=0,18\pm 0,019$ мкМ и $B_{max}=43\pm 4,5$ нмоль/мг белка. Аминокислотный анализ выделенного гликопротеина свидетельствует о его принадлежности к классу интегральных мембранных белков.

За последние годы накоплены данные, свидетельствующие о нейромедиаторной роли глутаминовой кислоты и о существовании специализированных мембранных структур — глутаматных рецепторов. Основные функциональные характеристики этих рецепторов установлены электрофизиологическими методами; осуществлен также радиолигандный анализ взаимодействия глутамата, его агонистов и антагонистов с препаратами возбудимых мембран. С помощью селективных фармакологических агентов обнаружено существование нескольких типов глутаматных рецепторов, основными из которых в настоящее время считают кайнатный, квискватный и N-метил-D-аспартатный [1].

Биохимическое изучение глутаматных рецепторов в значительной степени затруднено из-за отсутствия высокоспецифичных лигандов. Предпринимался ряд попыток выделения рецепторных макромолекул аффинной хроматографией на иммобилизованном глутамате и его агонистах [2—5]. Однако в этих работах не удалось полностью охарактеризовать глутаматные рецепторы, и полученные результаты зачастую противоречивы. Недавно в ядах пауков семейства аранеид были обнаружены высокоаффинные антагонисты глутаматных рецепторов [6—9]. Ташмухамедов и сотр. [10], используя низкомолекулярную фракцию яда паука *Argiope lobata*, выделили из мозга крыс, нервно-мышечных синапсов тараканов и крабов белковую фракцию, обогащенную глутаматными рецепторами.

Основные низкомолекулярные компоненты яда паука *A. lobata*, аргиопин, аргиопинины и псевдоаргиопинины [11] (далее смесь этих компонентов мы будем называть аргиопининами), — блокаторы постсинаптических ионных каналов, активируемых глутаматом, в мышце личинки мясной мухи, в изолированных нейронах гиппокампа мозга млекопитающих, а также в спинальных мотонейронах лягушки [11—13]. Исходя из этих данных представлялось целесообразным идентифицировать и выделить связывающие аргиопинины мембранные белки, которые, вероятно, входят в состав глутаматных рецепторов. При этом предполагалось, что очищенный рецепторный препарат должен обладать способностью одновременно связывать как глутамат, так и аргиопинины. Для выделения подобных мембранных компонентов использовалась кора головного мозга быка — один из наиболее богатых источников глутаматных рецепторов.

Сокращения: SDS — додецилсульфат натрия, Arg — аргиопинины, PMSF — фенилметилсульфонилфторид, MOPS — 4-морфолинпропансульфоновая кислота.

В настоящее время установлено, что транспорт и поглощение глутамата в нейронах происходит в присутствии ионов натрия, тогда как рецепторное связывание не зависит от этого катиона, поэтому все эксперименты по идентификации и выделению искомых рецепторных белков проводились в отсутствие ионов натрия. Биологическую активность препаратов в ходе очистки оценивали посредством связывания $L-[^3\text{H}]$ глутамата.

Из гомогената коры мозга модифицированным методом ступенчатого центрифугирования [14] получали мембранные фракции, которая, по данным радиолигандного анализа, содержит Na-независимые участки связывания $L-[^3\text{H}]$ глутамата в количестве 3,8 пмоль/мг белка. Аргиопинины на 50–60% ингибирировали это связывание. Аналогичным эффектом обладали индивидуальные аргиопинин III и аргиопин.

В последние годы был опубликован ряд способов солюбилизации глутаматсвязывающих мембранных компонентов ионными и неионными дегтергентами: холатом натрия или калия, дезоксихолатом натрия, тритоном X-100, лубролом RX и т. д. [2–4, 15]. В данной работе солюбилизацию мембранных препаратов проводили с помощью холата натрия, позволяющего в дальнейшем получать высокоактивные препараты аргиопининсвязывающего белка.

Для дальнейшей очистки искомого рецепторного компонента был разработан двухстадийный метод, представляющий собой комбинацию двух аффинных хроматографий с использованием иммобилизованных глутамата и аргиопининов (табл. 1). Применение такого метода было основано на предположении, что участки связывания глутамата и аргиопининов могут находиться на одном рецепторном комплексе.

На первой стадии был использован модифицированный метод выделения глутаматсвязывающего белка, предложенный в работах [4, 16]. В качестве матрицы для синтеза сорбента использовали пористое стекло CPG-10 (500 Å). Элюцию акцепторов глутамата проводили с помощью раствора 10 mM NaN_3 . На электрофорограмме полученной таким образом фракции (рис. 1) видно не менее 10 компонентов. Необходимо отметить, что условия проведения электрофореза подобраны так, чтобы максимально исключить возможность образования агрегатов гидрофобных мембранных белков (полиакриламидный гель содержал 6 M мочевину и SDS). Можно предположить, что выделенные белки представляют собой либо смесь различных акцепторов глутамата, соответствующих разным подтипу рецепторов, либо сложный рецепторный комплекс, не диссоциирующий в условиях хроматографии. Полученная фракция содержала участки связывания $L-[^3\text{H}]$ глутамата в количестве 10,4 нмоль/мг, причем смесь аргиопининов [11] ингибирировала связывание на 85–90%. В отдельных экспериментах для белков этой фракции радиолигандным анализом обнаружено наличие специфичного насыщаемого связывания с препаратами $[^{125}\text{I}]$ аргиопинина I (результаты анализа будут опубликованы отдельно).

Для дальнейшей очистки применялась хроматография на Affi-Gel 10 с

Таблица 1

Результаты выделения аргиопининсвязывающего белка из 100 г коры мозга быка

Этап выделения	Белок		Удельная связывающая активность, * пмоль/мг белка	Общее связывание, пмоль	Выход, %	Очистка
	мг	%				
Мембранные фракции	1372	100	5,2	7134	100	1
Холатный экстракт	485	35,8	—	—	—	—
Биоспецифическая хроматография на CPG-Glu **	0,288	0,021	10 414	2999	42	2003
Биоспецифическая хроматография на Affi-Arn **	0,019	0,0014	43 000	817	11,45	8269

* Связывающую активность определяли радиолигандным анализом с $L-[^3\text{H}]$ Glu.

** Приготовление сорбентов см. в «Экспериментальной части».

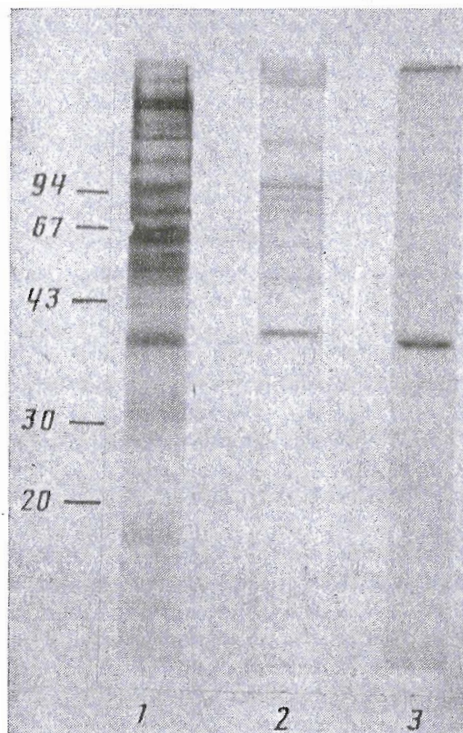


Рис. 1. Электрофорез в ПААГ в присутствии 0,1% SDS и 6 М мочевины аргиопиннсвязывающих белков на разных стадиях выделения (см. табл. 1): 1 — мембранные фракции, 2 — фракция, полученная с CPG-Glu, 3 — полученная с Affi-Arn. Отмечены положения маркерных белков, цифрами — их молекулярная масса в килодалтонах: 94 — фосфорилаза В, 67 — бычий сывороточный альбумин, 43 — овальбумин, 30 — карбоангидраза, 20 — трипсиновый ингибитор

иммобилизованными аргиопиннами (Affi-Arn). Ранее Ташмухамедов и сотр. [10] показали, что при использовании аффинного сорбента с иммобилизованной при помощи глутарового альдегида на полиамиде низкомолекулярной токсичной фракции яда *A. lobata* из синаптосом мозга крыс, нейромышечных синапсов крабов и тараканов удается выделить белковую фракцию, при встраивании которой в бислойную липидную мембрану появляется глутаматиндукруемая проводимость. Эти эксперименты продемонстрировали, что ковалентное присоединение аргиопиннов к матрице через свободную аминогруппу не приводит к нарушению их взаимодействия с постсинаптическим глутаматным рецептором. В нашей работе в качестве матрицы был использован высокостабильный Affi-Gel 10. Активированные N-гидроксисукцинидом карбоксильные группы этого носителя быстро и с хорошим выходом образуют амидную связь с первичными аминогруппами лиганда. Все компоненты основной фракции яда *A. lobata*, как сказано выше, обладают одинаковой биологической активностью, однако некоторые из них (аргиопинны I и II, псевдоаргиопинны I и II) имеют две α -аминогруппы на молекуле аргиопина и лизина [11]. Присоединение к носителю происходит через обе группы, что может привести к существенному изменению свойств этих лигандов. Кроме того, аргиопин, который составляет не менее 30% основной фракции, содержит высоколабильную хромофорную группу — 2,4-дигидроксифенилуксусную кислоту. Нами был также получен сорбент с синтетическим аргиопином, иммобилизованным на Affi-Gel 10. Ряд аналитических экспериментов показал, что препараты рецепторов, выделенные на этом и упомянутом выше носителе, не различались между собой.

Иликубация фракции акцепторов глутамата с сорбентом Affi-Arn проводилась при повышенных pH (до 8–8,5). Для выбора условий десорбции рецепторного комплекса были использованы данные о возможном присутствии ионов Fe^{3+} в активном центре акцепторного белка. Впервые Михаэлис и сотр. [17] при исследовании глутаматсвязывающего белка предположили, что в нем находятся ионы Fe^{3+} , и показали, что его связывание с L-глутаматом ингибируется NaN_3 и o-фенантролином. С другой стороны, было обнаружено, что JORO-токсин, структурно подобный аргиопину, об-

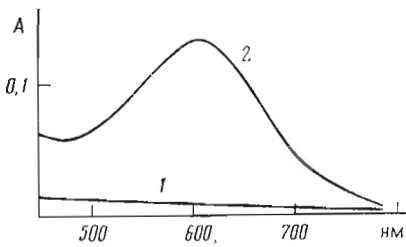


Рис. 2

Рис. 2. Взаимодействие аргиопинина III с ионами железа: видимая область спектра поглощения аргиопинина III ($1,3 \cdot 10^{-5}$ М) в воде (1); после добавления FeCl_3 ($1,8 \cdot 10^{-3}$ М) (2)

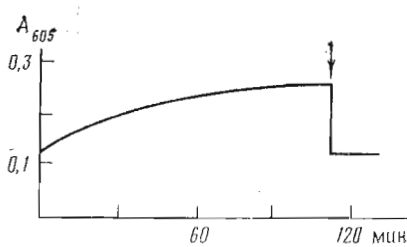


Рис. 3

Рис. 3. Кинетика образования окрашенного комплекса аргиопинина III ($3 \cdot 10^{-4}$ М) с фракцией акцепторов глутамата (80 мкг/мл), полученной с сорбента CPG-Glu. Стрелкой показан момент добавления 1 мМ EDTA

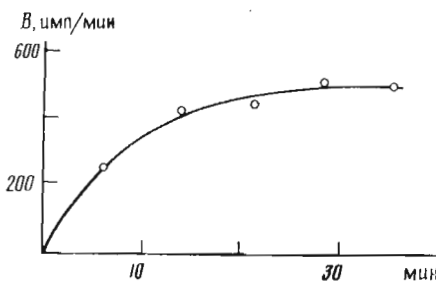


Рис. 4. Зависимость специфического связывания $L\text{-}[^3\text{H}]Glu$ (30 нМ) с рецепторной фракцией от времени инкубации при 25°C

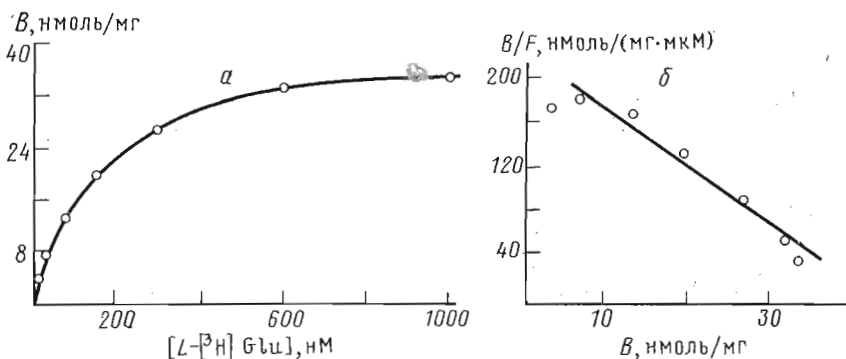


Рис. 5. Специфическое связывание $L\text{-}[^3\text{H}]Glu$ с рецепторной фракцией: зависимость специфического связывания (B) от концентрации $L\text{-}[^3\text{H}]Glu$ (а); представление экспериментальных данных в координатах Скотчарда (б) (F – концентрация свободного лиганда). Рассчитанные параметры связывания: $K_d = 0,18 \pm 0,019$ мкМ, $B_{\max} = 43 \pm 4,5$ нмоль/мг

разует комплекс с ионами Fe^{3+} ($\lambda_{\max} = 620$ нм) [18]. Данные, указывающие на образование подобного комплекса, были получены нами при изучении взаимодействия аргиопинина III с FeCl_3 (рис. 2), однако λ_{\max} окрашенного комплекса оказалось равным 605 нм. Это, по-видимому, обусловлено присутствием в молекуле аргиопинина III другой хромофорной группы – 4-гидроксииндол-3-уксусной кислоты. Аналогичным образом удалось зарегистрировать появление максимума поглощения при 605 нм при взаимодействии аргиопинина III с рецепторной фракцией, полученной в процессе биоспецифической хроматографии на сорбенте с иммобилизованным глутаматом. Важно отметить, что добавление к образовавшемуся комплексу хелаторов ионов железа, например EDTA, сопровождается его диссоциацией (рис. 3). В совокупности приведенные выше данные позволили ис-

пользовать для специфичной элюции аргиопининсвязывающего белка с сорбента Affi-Arn раствор 10 мМ EDTA.

Полученные рецепторные препараты обладали достаточно воспроизведимым белковым составом. В 35 из более 100 проделанных экспериментов, по данным электрофореза в ПААГ в присутствии SDS и 6 М мочевины, рецепторный препарат представлял собой практически гомогенный белок с молекулярной массой ~40 кДа (рис. 1). Однако в остальных экспериментах наряду с этим белком присутствовали компоненты с молекулярной массой 68, 45 и 54 кДа. Появление в рецепторных препаратах дополнительных белковых зон, по-видимому, нельзя считать случайным. Не исключено, что они — часть сложного рецепторного комплекса, который в условиях выделения частично или полностью разрушается. Можно также предположить, что белок 40 кДа образуется при расщеплении высоколабильных пептидных связей более крупного белка.

На рис. 4 и 5 представлены данные по радиолигандному анализу рецепторных препаратов, содержащих только компонент 40 кДа. Не трудно видеть, что за 30 мин при 25° С достигается максимальное связывание $L-[^3\text{H}]Glu$ (рис. 4). Результаты определения зависимости специфического связывания от концентрации лиганда (рис. 5) позволяют предположить наличие одного типа участков связывания с параметрами рецепции — $K_d = 0,18 \pm 0,019$ мкМ и $B_{max} = 43 \pm 4,5$ нмоль/мг белка, причем значение B_{max} свидетельствует, вероятно, о том, что молекула выделенного белка имеет больше одного участка связывания глутамата.

Для проведения аминокислотного анализа с целью отделения от возможных примесных белков фракцию, полученную с сорбента Affi-Arn, подвергали электрофорезу, затем проводили электротрансфер белковых зон на иммобилон. После окрашивания и высушивания вырезали полосу, соответствующую 40 кДа, и подвергали ее кислотному гидролизу. Выход белка после электрофореза и электроблота составил ~50%. Соотношение аминокислот в этом белке (табл. 2) весьма характерно для мембранных белков: общее количество гидрофобных остатков составляет более 48%; отношение количества полярных аминокислот к гидрофобным ($\text{Asx+Glx+His+Lys+Arg/Val+Met+Phe+Tyr+Leu+Phe}$) — 0,83, что позволяет отнести этот белок к категории интегральных мембранных белков [19]. В аргиопининсвязывающем белке содержится очень мало остатков цистеина, метионина и гистидина, тогда как весьма велико содержание аланина и глицина. Количество кислых аминокислотных остатков много выше, чем основных. При сравнении состава этого белка с глутаматсвязывающим белком из мозга крысы [20] между ними обнаруживается очень большая разница. Причем нам не удалось обнаружить присутствия необычных аминокислот (в белке крысы это N^ε-метиллизин [20]).

В данной работе также установлен качественный углеводный состав аргиопининсвязывающего белка. Показано присутствие сиаловых кислот, галактозы, маннозы, фукозы, N-ацетилглюказамина и N-ацетилманнозамина. Интересно, что в белке крысы [20] совершенно отсутствуют N-ацетилгексозамины.

Определение N-концевых аминокислотных остатков аргиопининсвязывающего белка позволило предположить, что его N-концевая аминокислота блокирована.

Таблица 2
Аминокислотный состав аргиопининсвязывающего белка

Аминокислота	Мольные %	Аминокислота	Мольные %	Аминокислота	Мольные %
Asx	8,43	Ala	14,21	Phe	4,88
Thr	9,22	1/2Cys	0,30	Tyr	0,97
Ser	7,16	Val	8,17	His	0,60
Glx	8,03	Met	0,58	Lys	3,16
Pro	7,92	Ile	4,41	Arg	2,43
Gly	11,98	Leu	7,85	Trp	Не определяли

Несомненно, что выделенный в настоящей работе аргиопининсвязывающий гликопротеин принадлежит к мембранный системе рецепции глутамата. Дальнейшие исследования по его реконструкции, клонированию и экспрессии, а также изучение фармакологических характеристик позволят выяснить его функциональную роль в нейрональной проводимости мозга млекопитающих.

Экспериментальная часть

Выделение мембран мозга быка. Все операции проводили при 4° С. От свежеизвлеченного мозга быка отделяли кору. Затем 200 г коры гомогенизировали в гомогенизаторе Поттера в 2 л ледяного буфера А: 0,32 М сахара-роза, 0,3 мМ PMSF, 0,1 мМ EGTA, 10 мМ ε-аминокапроновая кислота, 1 мКМ цепстин, pH 7,4. Полученную суспензию центрифугировали 30 мин при 11 000 g в роторе JA-10 (Beckman, США). Рыхлый осадок, содержащий мембранные, ресусцидировали с помощью тefлонового гомогенизатора в 2 л буфера Б: 50 мМ трис-HCl (pH 7,4), 2 мМ CaCl₂, 0,03 мМ PMSF, 0,01 мМ EGTA, 1 мМ ε-аминокапроновая кислота. После центрифугирования 40 мин при 11 000 g (ротор JA-10, Beckman, США) верхний, менее плотный осадок отделяли и затем дважды ресусцидировали в 1 л воды со льдом, содержащей такую же концентрацию ингибиторов протеиназ, как и в буфере Б. Фракцию синаптосомальных мембран отделяли с помощью центрифугирования в течение 30 мин при 11 000 g (JA-10). Полученные мембранные суспенциировали в 500 мл буфера Б, центрифугировали 30 мин при 80 000 g (ротор Ti-45, Beckman, США).

Солюбилизацию проводили при 4° С при постоянном перемешивании суспензии мембран (концентрация белка 5–7 мг/мл) в буфере В: 50 мМ трис-HCl (pH 7,4), 0,3 мМ PMSF, 0,1 мМ EGTA, 10 мМ ε-аминокапроновая кислота, 1 мМ цепстин с добавлением холата натрия до 1%. Через 3 ч суспензию центрифугировали 1 ч при 120 000 g (ротор Ti-45). Супернатант осторожно отсасывали.

Аффинная хроматография солюбилизованных мембран на сорбенте с иммобилизованными L-глутаматом. Аффинный сорбент (CPG-Clu) синтезировали на основе пористого стекла CPG-10 (500 Å, 200–400 меш; Serva, ФРГ) по методу [21]. Холатный экстракт мембран инкубировали 18 ч при перемешивании с сорбентом CPG-Glu. Затем носитель промывали 50-кратным объемом буфера Б на фильтре. В этом и во всех используемых далее для выделения буферных растворах содержалось 0,1% холата натрия. Десорбцию фракции акцепторов глутамата осуществляли с помощью инкубации сорбента в течение 6 ч в буфере Б, содержащем 10 мМ NaN₃. Полученную рецепторную фракцию концентрировали и тщательно диализовали против буфера Б (без EGTA).

Аффинная хроматография на носителе с иммобилизованными аргиопининами. Из яда паука *A. lobata*, как описано в работе [11], получали фракцию основных низкомолекулярных компонентов — аргиопининов. 18 мл Affi-Gel 10 (Bio-Rad, США) инкубировали 18 ч при 0° С со 150 мг аргиопининов в 9 мл 0,2 М MOPS (pH 8,2) и 9 мл этанола. Затем промывали 5 объемами 0,1 М MOPS (pH 8,2), инкубировали 2 ч при 20° С с 1 М этаноламином в 0,1 М MOPS (pH 8,2). Полученный аффинный сорбент (Affi-Arn) тщательно промывали буферами с высокой ионной силой (до 1 М NaCl), содержащими 0,1% холата натрия. Аналогично синтезировали сорбент с аргиопинином (при этом 4 мг синтетического аргиопина иммобилизовали на 1 мл Affi-Gel 10). Фракцию акцепторов глутамата инкубировали с Affi-Agn в течение 18 ч при перемешивании, после чего сорбент промывали буфером Б (без EGTA, pH 8) до полного удаления несорбированных белков. Для элюции рецептора Affi-Arn инкубировали 18 ч с буфером Б, содержащим 10 мМ EDTA (pH 8).

Связывание L-[³H]Glu. 100–200 мкг мембран или 0,3 мкг солюбилизированного белка инкубировали 30 мин при 25° С в 100 мкл смеси, содержащей 50 мМ трис-HCl (pH 7,4), 20–1000 нМ L-[³H]Glu. Реакцию инициировали добавлением белка. Для каждой точки делали по пять повторов.

Неспецифическое связывание определяли в присутствии в инкубационной смеси 1 мкМ немеченого L-Glu. Останавливали реакцию разбавлением смеси до 1 мл 50 мМ трис-HCl (рН 7,4). Отделение несвязавшегося лиганда проводили фильтрацией под вакуумом через стеклянные фильтры GF/B (Whatman, Англия), обработанные 0,3% полиэтиленимином [22]. Затем фильтры быстро промывали охлажденным до 0° С 50 мМ трис-HCl, рН 7,4 (3×5 мл), после чего каждый фильтр заливали 10 мл сцинтиллятора Unisolve (Kocht-Light, Англия) и инкубировали 24 ч. Радиоактивность измеряли в жидкостном сцинтилляционном счетчике LS-7000 (Beckman, США).

Концентрацию белка определяли по методу [23] после осаждения 7,5% трихлоруксусной кислотой и растворения осадка в 0,5М NaOH 2,5% SDS.

Электрофорез в поликариламидном геле проводили по методу [24]. Образец осаждали смесью хлороформ-метанол по методу [25], затем растворяли в инкубационном буфере так, чтобы концентрация белка была не более 1 мг/мл и инкубировали 10 мин при 60° С.

Электроперенос белковых зон на иммобилон (поливинилидendifторид) (Millipore, США) осуществляли по методу [26] в 10 мМ Na-боратном буфере (рН 9,5), содержащем 0,005% SDS (300 мА, 2,5 ч). Полноту переноса контролировали при окрашивании ПААГ. Белковые зоны на иммобилоне окрашивали 0,1 кумасси R-250 в 50% метаноле в течение 5 мин. Отмывали 15 мин в 50% метаноле, содержащем 10% уксусной кислоты, промывали водой и высушивали.

Для аминокислотного анализа кусочки иммобилона в стеклянной ампуле заливали 6 н. HCl, вакуумировали и гидролизовали 24 ч при 110° С. Аминокислотный анализ проводили на приборе D-500 (Durrum, США).

Для углеводного анализа кусочки иммобилона помещали в кварцевую ампулу и проводили гидролиз в газовой фазе смесью 4 н. HCl — 4 н. три-фторуксусная кислота (1:1) в течение 18 ч при 100° С. Анализ проводили по методу [27].

N-Концевые аминокислотные остатки определяли по описанному ранее методу [28].

Авторы выражают благодарность Э. А. Елину за предоставление синтетического аргиопина.

СПИСОК ЛИТЕРАТУРЫ

- Watkins J. C., Evans R. H. // Annu. Rev. Pharmacol. Toxicol. 1981. V. 21. P. 165–204.
- Kiuronen D. R., Roberts P. J. // J. Neurochem. 1987. V. 49. № 1. P. 272–281.
- Дамбинова С. А., Беседин В. И., Демина М. Н. // Биохимия. 1984. Т. 49. Вып. 2. С. 216–221.
- Michaelis E. K., Chittenden W. L., Jonson B. E., Galton N., Deceidue C. // J. Neurochem. 1984. V. 42. № 6. P. 397–406.
- Hampson D. R., Wenthold R. J. // J. Biol. Chem. 1988. V. 263. № 5. P. 2500–2505.
- Магазаник Л. Г., Антонов С. М., Федорова И. М., Волкова Т. М., Гришин Е. В. // Биол. мембранны. 1986. Т. 3. № 42. С. 1204–1219.
- Kawai N., Niwa A., Abe T. // Brain Res. 1982. V. 247. № 1. P. 169–171.
- Uscherwood P. N. R., Duce I. R., Boden P. // J. physiol. (France). 1984. V. 79. № 4. P. 241–245.
- Усманов П. В., Каликулов Д., Шадыева Н., Ташмухамедов Б. А. // Докл. АН СССР. 1983. Т. 273. № 4. С. 1017–1018.
- Ташмухамедов Б. А., Махмудова Э. М., Усманов П. В., Казаков И., Атакузеев Б. У. // Докл. АН СССР. 1984. Т. 276. № 4. С. 977–979.
- Гришин Е. В., Волкова Т. М., Арсеньев А. С. // Биоорган. химия. 1988. Т. 14. № 7. С. 883–892.
- Antonov S. M., Grishin E. V., Magazanik L. G., Shuplyakov O. V., Vesselkin N. P., Volkova T. M. // Neurosci. Lett. 1987. V. 83. № 2. P. 179–184.
- Антонов С. М., Волкова Т. М., Гришин Е. В., Кискин Н. И., Крышталь О. А., Магазаник Л. Г., Федорова И. М. // V Советско-швейцарский симпозиум «Биологические мембранны» структура и функции. Тез. докл. Рига. 1988. С. 107.
- Zukin S. R., Young A. B., Snyder S. H. // Proc. Nat. Acad. Sci. USA. 1974. V. 71. № 12. P. 3802–4807.
- Yoneda Y., Ogita K. // Biochem. and Biophys. Res. Commun. 1987. V. 142. № 2. P. 609–616.
- Chen J.-W., Cunningham M. D., Galton N., Michaelis E. K. // J. Biol. Chem. 1988. V. 263. № 1. P. 417–426.

17. Michaelis E. K., Belieu R. M., Grubbs R. D., Michaelis M. L., Chang H. H. // Neurochem. Res. 1982. V. 7. № 4. P. 423–436.
18. Yoshioka M., Narai N., Pan-Hou H., Shimazaki K., Miwa A., Kawai N. // Toxicon. 1988. V. 26. № 4. P. 414–416.
19. Barrantes F. J. // Biochem. and Biophys. Res. Communs. 1975. V. 62. № 2. P. 407–414.
20. Michaelis E. K., Michaelis M. L., Stormann T. M., Chittenden W. L., Grabbs R. D. // J. Neurochem. 1983. V. 40. № 6. P. 1742–1753.
21. Julliard J. H., Gautheron D. C. // FEBS Lett. 1973. V. 37. № 1. P. 10–16.
22. Bruns R. F., Lawson-Wendling K., Pugsley T. A. // Anal. Biochem. 1983. V. 132. № 1. P. 74–81.
23. Lowry O. H., Rosebrough N. J., Farr A. L., Randall R. J. // J. Biol. Chem. 1951. V. 193. N 1. P. 265–275.
24. Tandy N. E., Dilley R. A., Regnier F. E. // J. Chromatogr. 1983. V. 266. № 2. P. 599–609.
25. Wessel D., Flügge V. I. // Anal. Biochem. 1984. V. 138. № 1. P. 141–143.
26. Matsudiara P. // J. Biol. Chem. 1987. V. 262. № 21. P. 10035–10038.
27. Хорлин А. Я., Шилян С. Д., Маркин В. А., Насонов В. В., Мирзоянова М. Н. // Биоорганическая химия. 1986. Т. 12. № 9. С. 1203–1213.
28. Levina N. B., Nazimov I. V. // J. Chromatogr. 1984. V. 286. № 1. P. 207–216.

Поступила в редакцию
30.XII.1988

ARGIOPININ-BINDING PROTEIN FROM BOVINE CEREBRUM MEMBRANES

VOLKOVA T. M., AVETISYAN N. A., GALKINA T. G., KUDELIN A. B.,
MAKHMUDOVA E. M.*., SOLOVIEV M. M., TASHMUKHAMEDOV B. A.*,
GRISHIN E. V.

*M. M. Shemyakin Institute of Bioorganic Chemistry,
Academy of Sciences of the USSR, Moscow:*

** Institute of Physiology, Academy of Sciences of the UzbekSSR,
Tashkent*

The 40 kDa argiopinin-binding glycoprotein has been isolated from the solubilised preparations of bovine cerebrum membranes by means of two-step biospecific chromatography on affinity sorbents with immobilized glutamate and argiopinins. This receptor component displays a specific $L-[^3\text{H}]$ glutamate binding with $K_d=0,18\pm 0,019$ μmole and $B_{\max}=43\pm 4,5$ nmole/mg. Amino acid analysis reveals it to be a member of integral membrane proteins.